

## ЦЕПНОЕ ОКИСЛЕНИЕ ГИДРОХИНОНА ВОДОЙ, АКТИВИРОВАННОЙ ИМПУЛЬСНЫМ ИЗЛУЧЕНИЕМ ГОРЯЧЕЙ ПЛАЗМЫ

© 2023 г. И. М. Пискарев\*

Научно-исследовательский институт ядерной физики им. Д. В. Скobelцына, Московский государственный университет им. М. В. Ломоносова (НИИЯФ МГУ), Ленинские горы, 1, стр. 2, ГСП-1, Москва, 119234 Россия

\*E-mail: i.m.piskarev@gmail.com

Поступила в редакцию 02.02.2023 г.

После доработки 07.07.2023 г.

Принята к публикации 14.07.2023 г.

Исследовано взаимодействие гидрохинона с водой, активированной импульсным излучением горячей плазмы. В реакциях гидрохинона с продуктами, накопившимися в воде за время облучения (азотистая и пероксиазотистая кислота), происходит цепное окисление гидрохинона до бензохинона. Анализируется механизм цепного окисления. Исследовалось разложение гидрохинона холодной плазмой коронного электрического разряда (радикалами  $\text{OH}^{\cdot}$ ). Под действием коронного разряда бензохинон не образуется, гидрохинон сразу разлагается на низкомолекулярные продукты. Рассмотренный процесс окисления гидрохинона может быть использован для создания водородных элементов на основе пары гидрохинон  $\leftrightarrow$  бензохинон.

**Ключевые слова:** гидрохинон, бензохинон, активированная плазмой вода, азотистая кислота, окисление, пероксиазотистая кислота

**DOI:** 10.31857/S002311932306013X, **EDN:** SFMXOM

### ВВЕДЕНИЕ

Горячая плазма при контакте с обрабатываемым объектом повреждает его, поэтому воздействовать путем инициирования химических реакций можно только дистанционно, через излучение. Под действием импульсного излучения горячей плазмы в водном растворе генерируются химически активные частицы [1]. Вода, активированная плазмой (АПВ), может быть использована как в научных, так и в прикладных исследованиях.

Исследованные нами ранее фенол и тирозин при действии импульсного излучения искрового разряда подвергаются нитрованию, и превращаются в 4-нитрофенол и 3-нитротирозин [2, 3]. Известно, что 1,4 пара-гидрохинон ( $\text{H}_2\text{Q}$ ) вступает в реакцию окисления, превращаясь в 1,4 пара-бензохинон (BQ), и не подвергается нитрованию в реакциях с нитросоединениями. Представляет интерес сравнить механизм реакций 1,4 пара-гидрохинона с активными частицами, образующимися в воде под действием импульсного излучения горячей плазмы, и гидроксильными радикалами, генерируемыми холодной плазмой коронного электрического разряда.

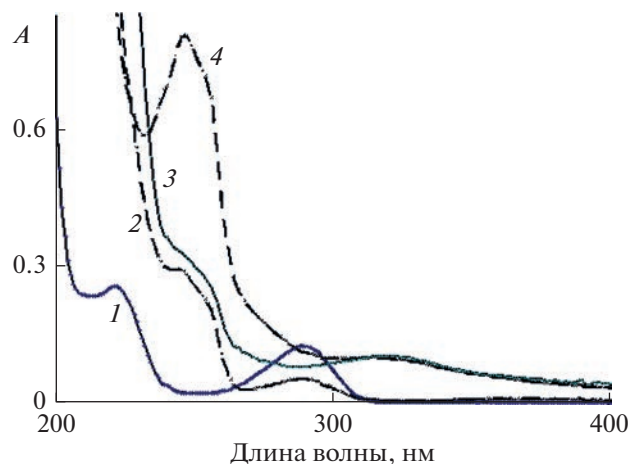
Продукт окисления 1,4 пара-гидрохинона ( $\text{H}_2\text{Q}$ ), 1,4 пара-бензохинон (BQ), играет большую

роль в природе. Химия и биохимия BQ рассмотрена в обзоре [5]. Окислительно-восстановительная пара  $\text{H}_2\text{Q} \leftrightarrow \text{BQ}$  рассматривается как потенциальный кандидат на создание ячейки, накапливающей энергию [6]. Сам BQ восстанавливается до  $\text{H}_2\text{Q}$ , поглощая водород,  $\text{H}_2\text{Q}$  окисляется до BQ, отдавая водород [7, 8]. Для окисления  $\text{H}_2\text{Q}$  необходим катализатор, принимающий электроны. В качестве катализатора может быть использован металл переменной валентности [9, 10]. Окисление перекисью водорода невозможно без катализатора [11]. Роль катализатора может играть  $\text{NaNO}_2$  в кислой среде [12]. При использовании катализатора возникает задача отделения катализатора от продукта реакции.

Работа посвящена исследованию взаимодействия 1,4 пара-гидрохинона с активными частицами, образующимися в водном растворе под действием импульсного излучения горячей плазмы искрового разряда, и холодной плазмы коронного электрического разряда.

### МАТЕРИАЛЫ И МЕТОДЫ

Источником импульсного излучения горячей плазмы, с помощью которого обрабатывались пробные растворы и получалась активированная



**Рис. 1.** Оптическая плотность А, относительные единицы, (absorbance) пробных растворов. 1 – спектр поглощения раствора гидрохинона концентрацией 40 мг/л; 2 – спектр раствора гидрохинона Н2Q концентрацией 40 мг/л сразу после обработки импульсным излучением генератора ИР10 дозой 2100 Дж; 3, 4 – спектры смеси растворов Н2Q (40 мг/л, 10 мл) + + АПВ (10 мл), обработанной излучением генератора ИР10 дозами: 3 – 2100 Дж и 4 – 350 Дж на второй день после смешивания.

плазмой вода (АПВ), служил генератор искрового разряда ИР10 [1, 3]. Мощность дозы излучения составляла 0.59 Дж/с на 10 мл жидкости. Длительность импульса 100  $\mu$ s, частота повторения импульсов 10 Гц. Обработка проб жидкости осуществлялась в чашке Петри диаметром 4 см, объем пробы 10 мл. Активными частицами, образующимися в жидкости под действием импульсного излучения горячей плазмы, являются радикалы  $\text{HO}_2^\cdot$ , перекись водорода, азотистая кислота и комплекс ...ONOON/ONO $^{+}$ ... [1].

Для сравнения использовался генератор холодной плазмы коронного электрического разряда [3]. Объем обрабатываемой жидкости 50 мл, мощность дозы 1 Дж/с на 10 мл раствора. Активными частицами были гидроксильные радикалы, перекись водорода и озон.

Концентрацию продуктов определяли по спектрам поглощения: 1,4 пара-гидрохинон (Н2Q):  $\lambda = 288$  нм,  $\epsilon = 3453$  л(моль см) $^{-1}$ ; 1,4 пара-бензохинон (BQ):  $\lambda = 244$  нм,  $\epsilon = 19204$  л(моль см) $^{-1}$ ;  $\text{Fe}^{3+}$ :  $\lambda = 304$  нм,  $\epsilon = 2100$  л(моль см) $^{-1}$ . Характеристики спектров определяли по калибровочным растворам. Спектры поглощения растворов изменили спектрофотометром СФ-102 фирмы Аквилон, Россия. Использовались химически чистые реагенты и дистиллированная вода рН 6.5.

## РЕЗУЛЬТАТЫ ЭКСПЕРИМЕНТА

### Окисление гидрохинона продуктами, образующимися в воде под действием импульсного излучения горячей плазмы

В состав активных частиц, образующихся в воде под действием импульсного излучения горячей плазмы, входят короткоживущие радикалы  $\text{HO}_2^\cdot$  и долгоживущие реакционноспособные продукты, обеспечивающие сохранение активности воды после прекращения действия излучения. К долгоживущим реакционноспособным продуктам относятся: азотистая кислота, время жизни которой порядка двух суток, и комплекс ...ONOON/ONO $^{+}$ ..., распадающийся за время до 14 суток на пероксинитрит и пероксиазотистую кислоту [4]. Концентрация перекиси водорода мала, и она не играет заметной роли. Порядка 90% комплекса распадается за два дня. Короткоживущие радикалы  $\text{HO}_2^\cdot$  могут взаимодействовать с веществами, растворенными в воде, только в момент действия излучения. Долгоживущие соединения накапливаются в АПВ и взаимодействуют с растворенными веществами уже после окончания действия излучения.

Чтобы оценить роль радикалов  $\text{HO}_2^\cdot$  в реакции с гидрохиноном, пробы раствора гидрохинона концентрацией 40 мг/л обрабатывались непосредственно излучением плазмы генератора ИР10, и измерения спектра поглощения раствора Н2Q осуществляли сразу после обработки. Спектр поглощения при дозе облучения 2100 Дж представлен на рис. 1 (кривая 2). Видно, что основной пик гидрохинона 288 нм уменьшился, появился небольшой пик бензохинона 244 нм.

Так как время жизни активных частиц составляло около двух суток и реакция с продуктами медленная [3, 4], то спектр продуктов, образовавшихся в смеси АПВ с раствором гидрохинона, измеряли через два дня после обработки. Причиной малой скорости взаимодействия является механизм реакции, связанный с образованием промежуточного состояния и преодолением энергетического барьера [3], и малая скорость распада комплекса ...ONOON/ONO $^{+}$ , являющегося одним из источников активных частиц.

Отдельно сравнивались спектры поглощения растворов Н2Q, непосредственно подвергавшихся обработке, и спектры смеси Н2Q с АПВ, активированной той же дозой. Спектры оказались одинаковыми в пределах точности приготовления растворов и с учетом разбавления. Поэтому в дальнейшем все результаты приводятся для смеси Н2Q с АПВ.

Из рис. 1, кривая 4 видно, что в реакции с АПВ 1,4 пара-гидрохинон при дозе 350 Дж окисляется до 1,4 пара-бензохинона (пропадает линия 288 нм

**Таблица 1.** Концентрации продуктов, образующихся в водном растворе гидрохинона  $[H_2Q]$ , смешанном с водой, активированной импульсным излучением горячей плазмы генератора ИР10:  $[BQ]$  – бензохинон, ионы  $[NO_3^-]$  и  $[H^+]$

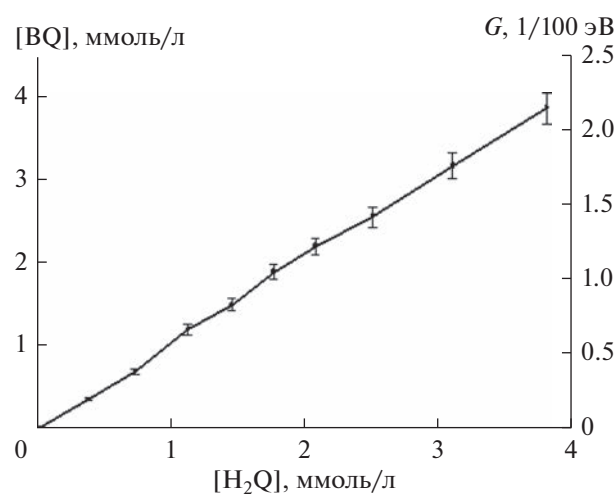
Доза, Дж	Концентрации, ммоль/л			
	$[H_2Q]$	$[BQ]$	$[NO_3^-]$	$[H^+]$
0	$0.21 \pm 0.02$	0	0	$0.0016 \pm 0.0001$
35	$0.17 \pm 0.02$	0	$0.044 \pm 0.005$	$0.021 \pm 0.0005$
70	$0.15 \pm 0.02$	$0.0027 \pm 0.0002$	$0.2 \pm 0.03$	$0.11 \pm 0.007$
110	$0.065 \pm 0.008$	$0.072 \pm 0.008$	$0.5 \pm 0.06$	$0.3 \pm 0.02$
180	0	$0.21 \pm 0.02$	$0.9 \pm 0.1$	$0.48 \pm 0.04$
350	0	$0.12 \pm 0.015$	$1 \pm 0.1$	$0.7 \pm 0.06$
710	0	$0.065 \pm 0.007$	$2.1 \pm 0.2$	$0.8 \pm 0.07$
1060	0	$0.047 \pm 0.005$	$3.1 \pm 0.25$	$1.2 \pm 0.1$
1400	0	$0.024 \pm 0.003$	$4.2 \pm 0.4$	$2.1 \pm 0.2$
1770	0	$0.01 \pm 0.001$	$5.1 \pm 0.6$	$2.4 \pm 0.3$
2100	0	$0.0036 \pm 0.0006$	$5.5 \pm 0.6$	$2.6 \pm 0.4$

и появляется 244 нм), а с увеличением дозы до 2100 Дж бензохинон разрушается. Появляется линия поглощения 310–320 нм, связанная с ионами  $NO_3^-$ . В азотной кислоте без примеси других соединений, когда  $[H^+] = [NO_3^-]$ , линия поглощения ионов  $NO_3^-$  находится при длине волн 301 нм. Эта линия смещается в сторону более длинных волн при уменьшении концентрации  $[H^+]$ , когда  $[H^+] < [NO_3^-]$ , и с появлением низкомолекулярных продуктов распада гидрохинона и бензохинона.

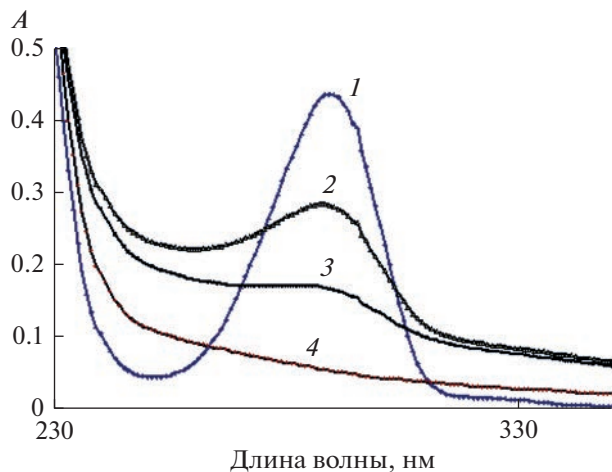
Концентрации продуктов, образующихся в растворе гидрохинона при смешивании с АПВ, в зависимости от дозы облучения представлены в табл. 1. Концентрации получены для смеси на основании оптических плотностей пиков поглощения. Видно, что гидрохинон окисляется до бензохинона, и при дозе 180 Дж концентрация гидрохинона равна нулю, а концентрация бензохинона равна исходной концентрации гидрохинона. Бензохинон разрушается на низкомолекулярные продукты, и при дозе 2100 Дж его концентрация уменьшается более, чем в 100 раз. Стабильные продукты  $NO_3^-$  и  $H^+$  образуются при распаде азотистой кислоты и комплекса ... $ONOON/ONO^-$ ...

Далее выполнен эксперимент, позволяющий оценить вклад цепной реакции в окисление гидрохинона. Исследовалась зависимость концентрации образовавшегося бензохинона от концентрации исходного гидрохинона в растворе при постоянной дозе облучения 350 Дж. При такой дозе концентрация активных частиц, образующихся в воде, составляет 1 ммоль/л [3]. Результаты представлены на рис. 2.

Видно, что  $[BQ]$  линейно растет с концентрацией  $[H_2Q]$  и во всем диапазоне  $[BQ] = [H_2Q]$ . Когда  $[H_2Q] < 1$  ммоль/л, все активные частицы расходуются на окисление. При концентрации  $[H_2Q] > 1$  ммоль/л (больше концентрации активных частиц) на одну активную частицу приходится больше одного акта окисления  $H_2Q$ . Выход окисления на 100 эВ энергии излучения растет с ростом концентрации  $H_2Q$ . Это свидетельствует о протекании цепной реакции.



**Рис. 2.** Зависимость концентрации образующегося в реакции бензохинона  $[BQ]$ , ммоль/л, и выхода окисления гидрохинона  $G$ , 1/100 эВ, от концентрации гидрохинона  $[H_2Q]$ , ммоль/л, при дозе облучения 350 Дж. Концентрация активных частиц, образующихся в дистilledированной воде при такой дозе, равна 1 ммоль/л.



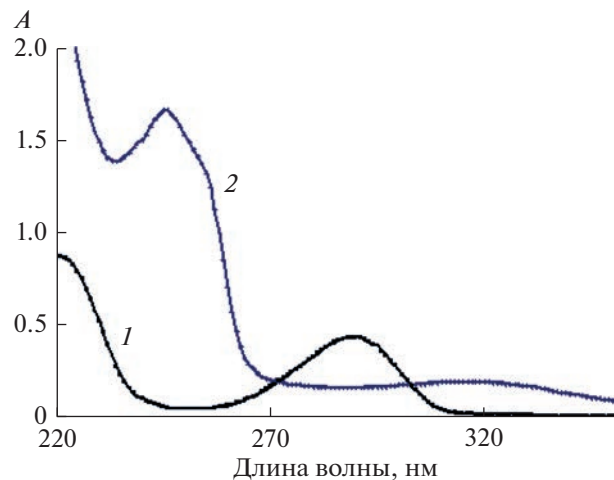
**Рис. 3.** Оптическая плотность А (отн. ед.) раствора гидрохинона концентрацией 22 мг/л после обработки холодной плазмой коронного электрического разряда. 1 – исходный раствор, 2 – доза 600 Дж, 3 – 900 Дж, 4 – 1500 Дж, все дозы на 10 мл раствора.

#### Деградация гидрохинона под действием холодной плазмы коронного электрического разряда

Под действием холодной плазмы коронного электрического разряда, в котором основными активными частицами являются гидроксильные радикалы, перекись водорода и озон, гидрохинон разрушается. Результаты обработки раствора гидрохинона коронным электрическим разрядом представлены на рис. 3. Видно, что гидрохинон разрушается с образованием низкомолекулярных продуктов, продукт окисления гидрохинона – бензохинон (пик 244 нм) и ионы  $\text{NO}_3^-$  (пик 310–320 нм) не образуются. Все изменения спектра происходят сразу после обработки, при выдержке растворов в течение двух суток и более никакие новые изменения не наблюдаются.

#### Окисление гидрохинона азотистой кислотой

Раствор  $\text{NaNO}_2$  концентрацией  $(5.8 \pm 0.2) \times 10^{-4}$  моль/л смешивался с раствором гидрохинона: 10 мл ( $\text{NaNO}_2$ ) + 10 мл ( $\text{H}_2\text{Q}$ ). Концентрации гидрохинона приведены в табл. 2. После смешивания в раствор вводили 1 мл 0.4М серной кислоты.



**Рис. 4.** Оптическая плотность А (отн. ед.) для исходного раствора гидрохинона концентрацией 22 мг/л (кривая 1) и через 2 дня после введения азотистой кислоты, смесь  $\text{H}_2\text{Q} + \text{NaNO}_2 + \text{H}_2\text{SO}_4$  (кривая 2).

Азотистая кислота образовывалась в реакции:



На рис. 4 представлен спектр раствора  $\text{H}_2\text{Q} + \text{NaNO}_2 + \text{H}_2\text{SO}_4$  через два дня после смешивания реагентов.

Видно, что при взаимодействии с азотистой кислотой гидрохинон полностью превратился в бензохинон и появляется пик 310–320 нм, связанный с ионами  $\text{NO}_3^-$ . Соотношения между концентрациями исходных реагентов (азотистой кислоты и гидрохинона) и продукта реакции – бензохинона с учетом разбавления представлены в табл. 2. Имеют место два случая.

Случай 1: концентрация азотистой кислоты, т.е. активных частиц, инициирующих реакцию, больше концентрации гидрохинона. Концентрация образовавшегося продукта (BQ) в пределах ошибок равна концентрации исходного вещества ( $\text{H}_2\text{Q}$ ), весь гидрохинон окисляется.

Случай 2: концентрация азотистой кислоты меньше концентрации гидрохинона. Концентрация образовавшегося продукта (BQ) также оказывается равна концентрации исходного вещества ( $\text{H}_2\text{Q}$ ). В этом случае имеет место цепная реак-

**Таблица 2.** Концентрации реагентов в реакции  $\text{NaNO}_2(\text{HNO}_2) + \text{H}_2\text{Q} \rightarrow \text{BQ}$

	Концентрация реагентов, моль/л			Отношение концентраций	
	[ $\text{HNO}_2$ ]	Исходный [ $\text{H}_2\text{Q}$ ]	Продукт [BQ]	$\frac{[\text{BQ}]}{[\text{HNO}_2]}$	$\frac{[\text{BQ}]}{[\text{H}_2\text{Q}]}$
1	$(2.9 \pm 0.2) \times 10^{-4}$	$(1.94 \pm 0.05) \times 10^{-4}$	$(1.89 \pm 0.05) \times 10^{-4}$	0.65	0.97
2	$(2.9 \pm 0.2) \times 10^{-4}$	$(2.61 \pm 0.05) \times 10^{-3}$	$(2.76 \pm 0.05) \times 10^{-3}$	9.5	10.5

ция. Одна активная частица инициирует примерно 10 актов реакции окисления  $\text{H}_2\text{Q} \rightarrow \text{BQ}$ .

## ОБСУЖДЕНИЕ

### *Механизм окисления гидрохинона*

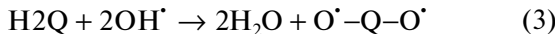
### *Возможность окисления гидрохинона гидроксильными радикалами*

Характерной реакцией гидроксильного радикала является отрыв атома водорода (H-abstraction):



Энергия, выделяющаяся в реакции (2), 115 ккал/моль, расходуется на отрыв атома водорода от соединения — мишени [13]. В случае гидрохинона, этой энергии хватит, чтобы оторвать атом водорода из любого положения в бензольном кольце. При отрыве от группы  $-\text{OH}$  возможно окисление до бензохинона, при отрыве из других положений будет происходить деградация гидрохинона до уровня низкомолекулярных соединений.

Рассмотрим случай отрыва гидроксильным радикалом атома водорода от группы  $-\text{OH}$ :

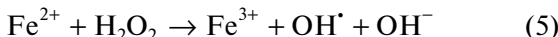


Образовавшийся бирадикал  $\text{O}^\cdot - \text{Q} - \text{O}^\cdot$  может превратиться в бензохинон, если отдаст два электрона. Если отдавать электроны некуда, бирадикал снова будет взаимодействовать с гидроксильным радикалом:



В реакции (4) обратно образуется гидрохинон. То есть если в растворе нет вещества, способного принять электроны, окисление гидроксильными радикалами  $\text{H}_2\text{Q} \rightarrow \text{BQ}$  невозможно. Будет происходить разрушение бензольного кольца, при этом пик 288 нм, связанный с гидрохиноном, пропадает, появляются низкомолекулярные соединения, поглощающие в области  $\lambda < 230$  нм (см. рис. 3).

При окислении гидрохинона гидроксильными радикалами, образующимися в реакции Фентона



образующееся трехвалентное железо при взаимодействии с бирадикалом будет принимать электрон, восстанавливаясь до  $\text{Fe}^{2+}$ .



В реакции Фентона с увеличением концентрации  $\text{H}_2\text{Q}$  концентрация оставшегося  $\text{Fe}^{3+}$  уменьшается при постоянной концентрации двухвалентного железа в исходной пробе. Это явление экспериментально наблюдалось. Трехвалентное железо в этом процессе играет роль катализатора.

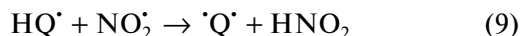
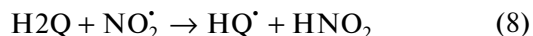
Таким образом, окисление гидрохинона гидроксильными радикалами до уровня бензохинона возможно только при условии, что есть катализатор, способный принимать электроны.

### *Окисление гидрохинона азотистой кислотой*

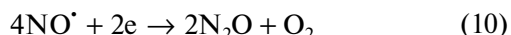
Для азотистой кислоты в водном растворе существует равновесие:



Радикал  $\text{NO}_2^\cdot$  может взаимодействовать с гидрохиноном:

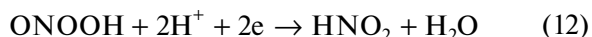


В этом процессе регенерируется азотистая кислота и образуется бирадикал  $\cdot\text{Q}^\cdot$ . Для того, чтобы завершить окисление  $\text{H}_2\text{Q} \rightarrow \text{BQ}$ , бирадикал  $\cdot\text{Q}^\cdot$  должен отдать два электрона. Электроны может принять радикал  $\text{NO}^\cdot$ , образующийся при распаде азотистой кислоты:



Так как азотистая кислота регенерируется, то процесс окисления гидрохинона в бензохинон является цепным. Цепной характер реакции подтверждается экспериментом, см. рис. 2 и табл. 2.

В случае образования комплекса ... $\text{ONOOH}/\text{ONOO}^-$ ..., при его распаде в кислой среде, которая создается в водном растворе во время действия излучения, образуется пероксиазотистая кислота. При ее распаде образуется диоксид азота и азотистая кислота [14].



Поэтому механизм, рассмотренный выше (реакции (8)–(10)) также будет действовать для пероксиазотистой кислоты.

Таким образом, окисление гидрохинона до бензохинона азотистой и пероксиазотистой кислотой возможно, и этот процесс является цепной реакций. В случае обработки импульсным излучением горячей плазмы применение дополнительного катализатора не требуется.

## ВЫВОДЫ

При взаимодействии 1,4 пара-гидрохинона с водой, активированной импульсным излучением горячей плазмы искрового электрического разряда, происходит окисление до 1,4 пара-бензохинона. Окисление  $\text{H}_2\text{Q} \rightarrow \text{BQ}$  продуктами, накаплившимися в воде под действием импульсного излучения го-

рячей плазмы (азотистая кислота и комплекс ...ONOON/ONO<sup>-</sup>...), является цепной реакцией. Реакция медленная, продолжается два дня.

Цепное окисление 1,4 пара-гидрохинона может быть использовано в накопителе энергии на основе пары H<sub>2</sub>Q ↔ BQ.

### СПИСОК ЛИТЕРАТУРЫ

1. *Piskarev I.M., Ivanova I.P.* // Plasma Source Sci. Technol. 2019. V. 28. 065008 (10 p).
2. *Ivanova I.P., Piskarev I.M.* // IEEE Transactions on Plasma Science. 2022. V. 50(11). 4667.
3. *Иванова И.П., Пискарев И.М.* // Химия высоких энергий. 2022. Т. 56. № 5. С. 339.
4. *Пискарев И.М.* // Химия высоких энергий. 2019 Т. 53 № 1. С. 71.
5. *Abraham I., Joshi R., Pardasani P., Pardasani R.* // J. Braz. Chem. Soc. 2011. V. 22. № 3 . P. 385.
6. *Nawar S., Huskinson B., Aziz M.* // Mater. Res. Soc. Symp. Proc. 2012. P. 1491.
7. *Wilke T., Schneider M., Kleinerman K.* // Open J. of Physical Chemistry. 2013. V. 3. P. 97.
8. *Fonagy O., Szabo-Bardos E., Horvath O.* // Journal of Photochemistry and Photobiology. A. Chemistry. 2021. V. 407. 113057.
9. *Cheng C.-Y., Chan Y.-T., Tzon Y.-M. et al.* // J. of Spectroscopy. 2016. V. 2016. Article ID 7958351. <https://doi.org/10.1155/2016/7958351>
10. *Maurya M., Sikarwar S.* // J. of Molecular Catalysis. A. Chemistry. 2007. V. 263. P. 175.
11. *Derikvand F., Bigi F., Maggi R. et al.* // J. of Catalysis. 2010. V. 271. P. 99.
12. *Gambarotti C., Melone L., Punta C., Shisodia S.U.* // Current Organic Chemistry. 2013. V. 17. P. 1108.
13. *Ivanova I.P., Piskarev I.M., Trofimova S.V.* // American Journal of Physical Chemistry. 2013. V. 2. № 2. P. 44.
14. *Лобачев В.Л., Рудаков Е.С.* // Успехи химии. 2006. Т. 75. № 5. С. 422.